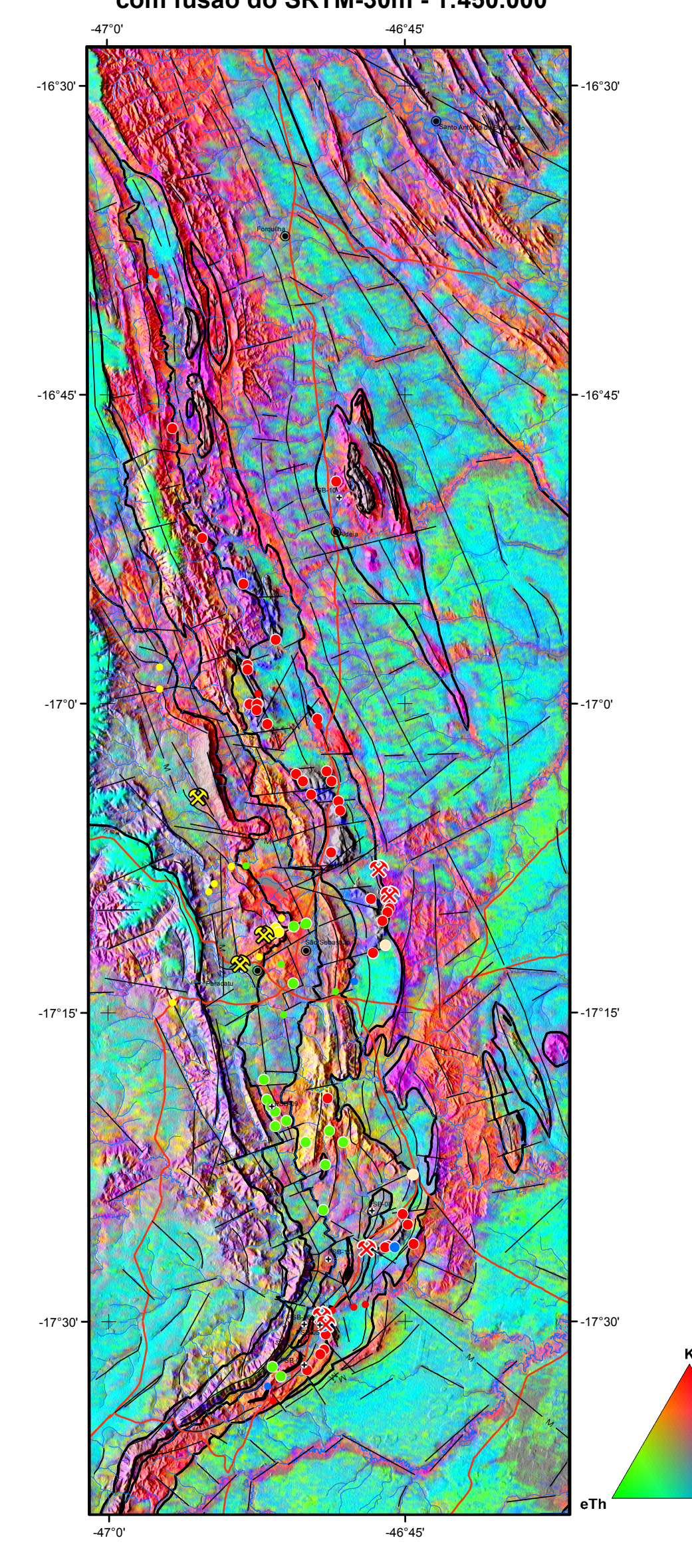


Imagem de Composição ternária RGB (K-eTh-eU) com fusão do SRTM-30m - 1:450.000



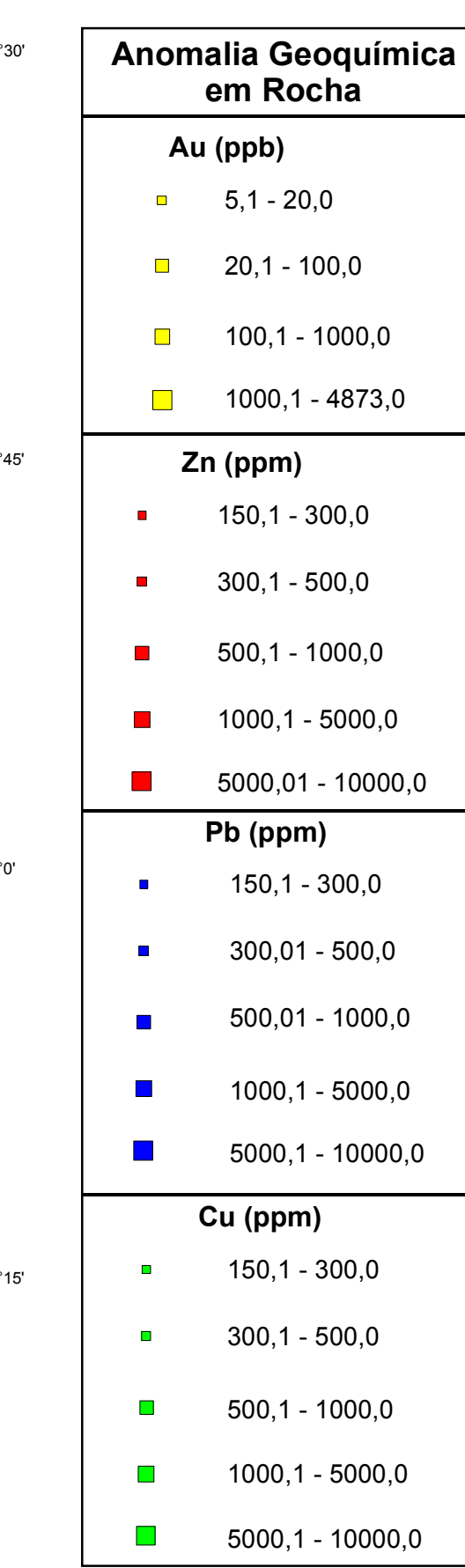
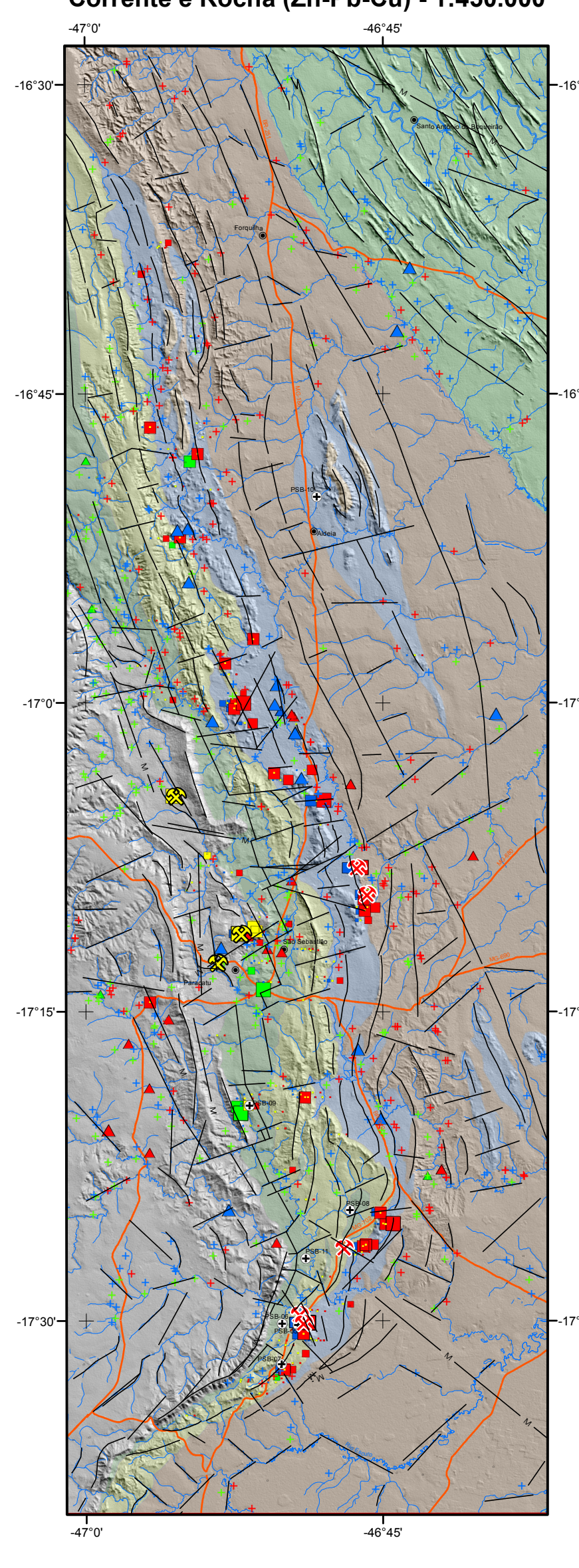
• IMAGEM DE COMPOSIÇÃO TERNÁRIA RGB (K-eTh-eU)
Mostra a variação das concentrações dos três radioelementos relacionando-os com as cores vermelho (K), verde (eTh) e Azul (eU). O espectro de cores varia desde o branco, quando coincidente as máximas concentrações nos três radioelementos, até o preto, para os mínimos teores.

Magnetometria - Derivada em X (Dx -4Up300) - 1:450.000



• PRIMEIRA DERIVADA DO EIXO X (Dx)
Evidencia os corpos e estruturas geológicas menores e mais rasas, e são usadas para o refinamento de uma interpretação, com a finalidade de realçar, particularmente, as estruturas geológicas alinhadas na direção N-S.

Mapa de Anomalia Geoquímica - Sedimento de Corrente e Rocha (Zn-Pb-Cu) - 1:450.000



Recursos Minerais
• Minas e Depósitos
• Ocorrências
• Índices

Anomalia Geoquímica em Sedimento de Corrente - Distrito de Paracatu-Unaí

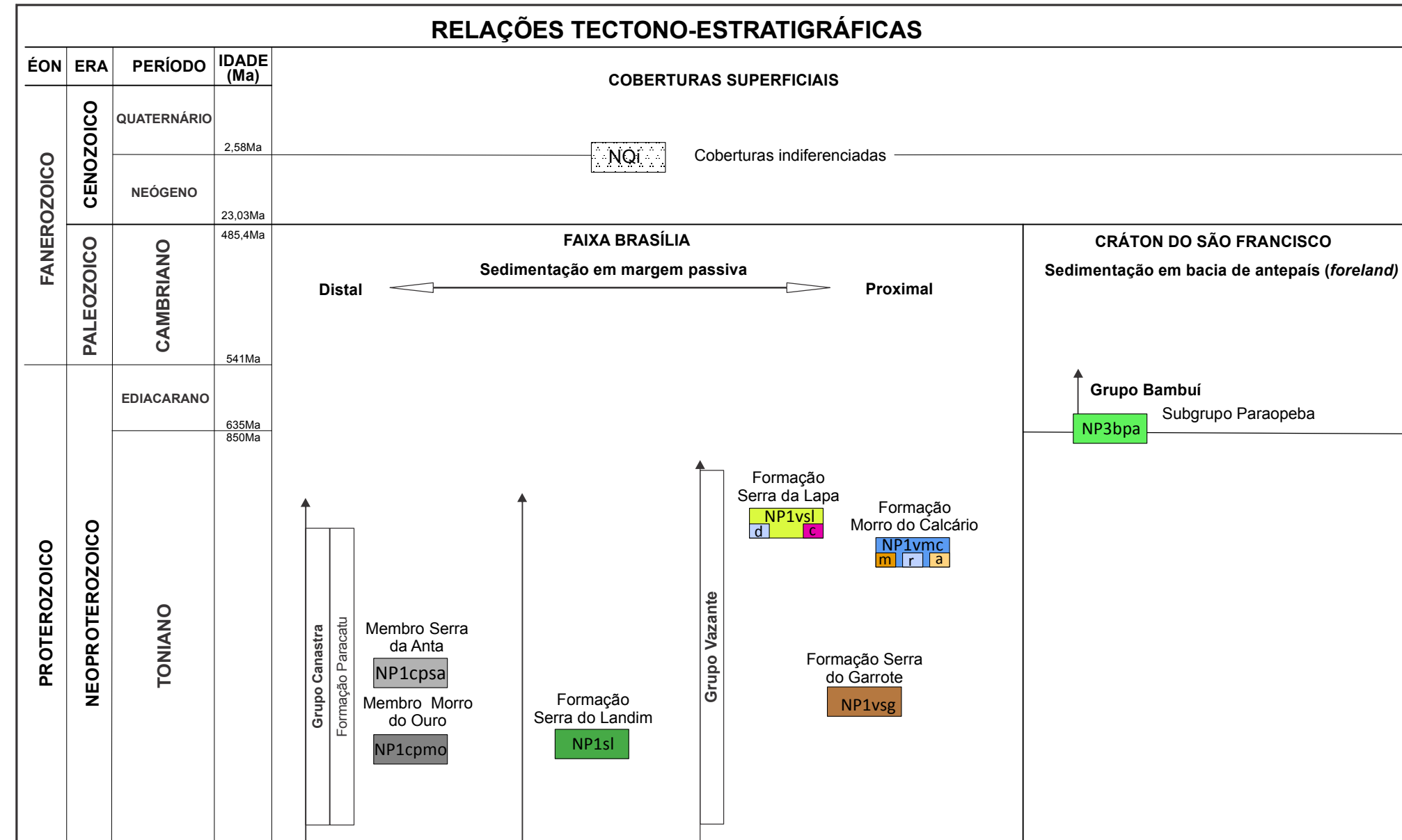
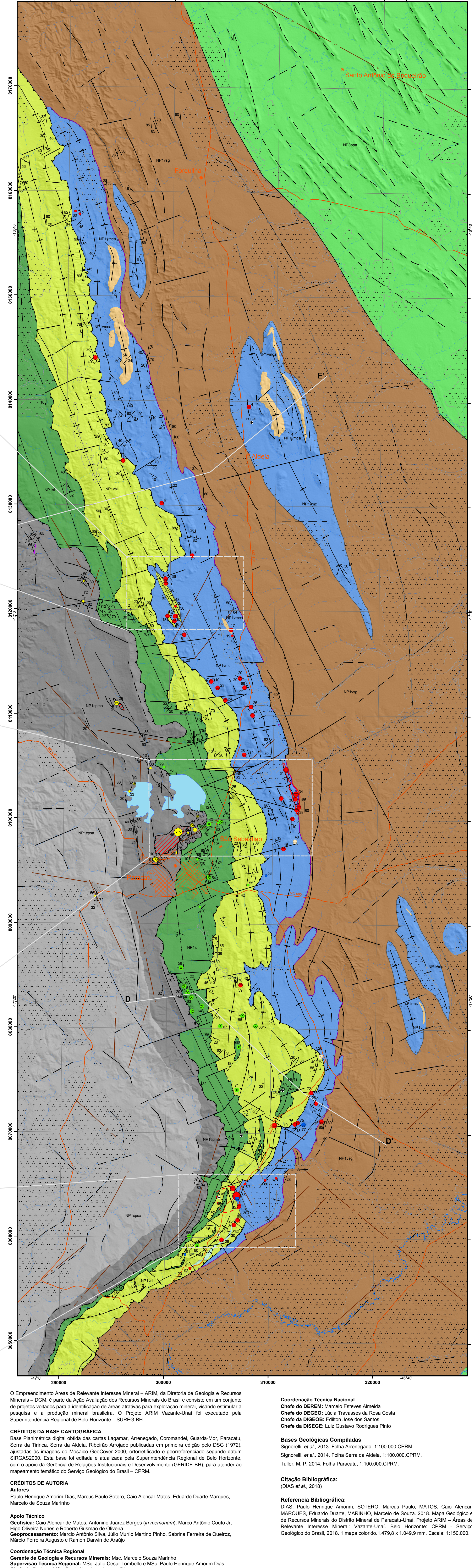
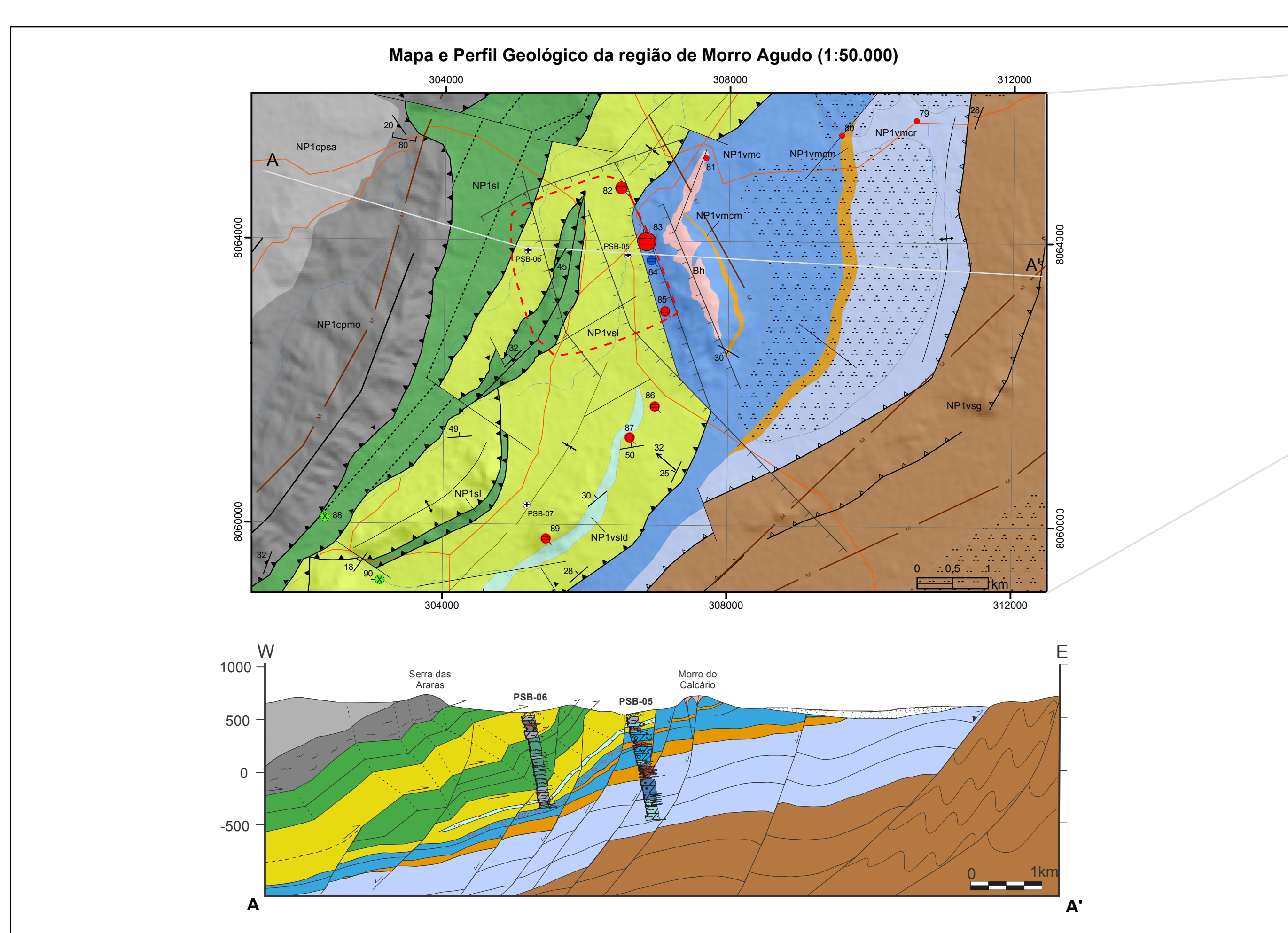
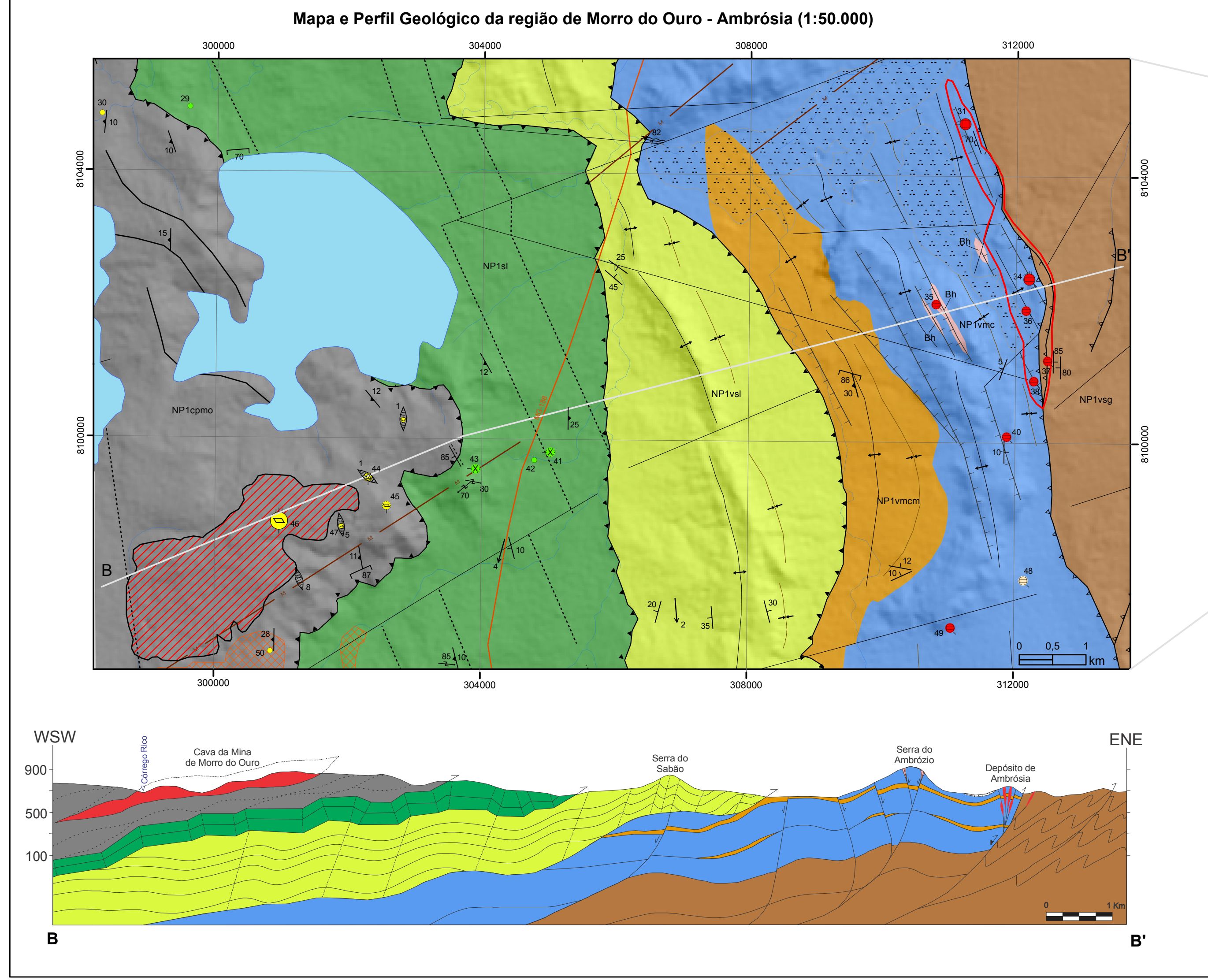
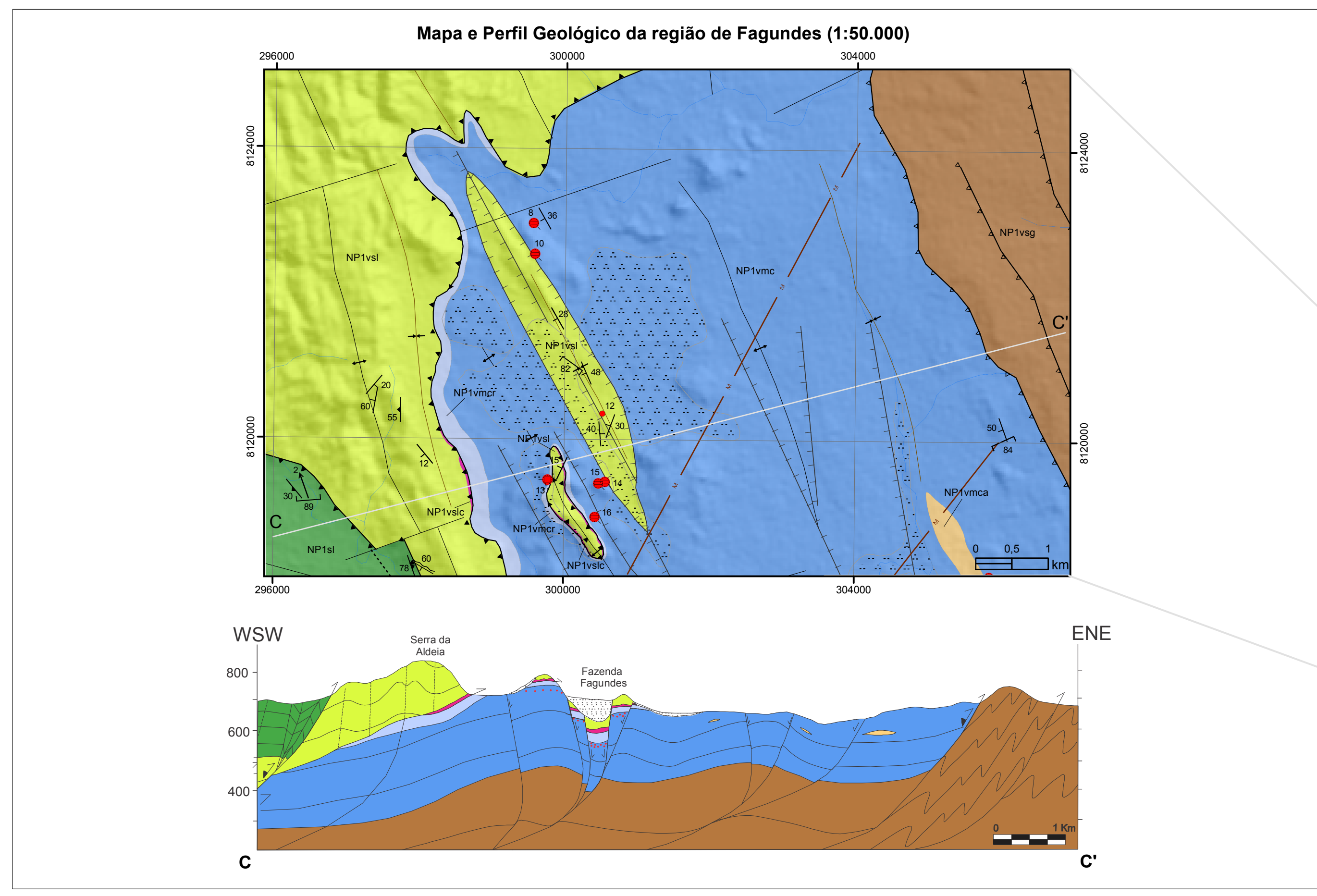
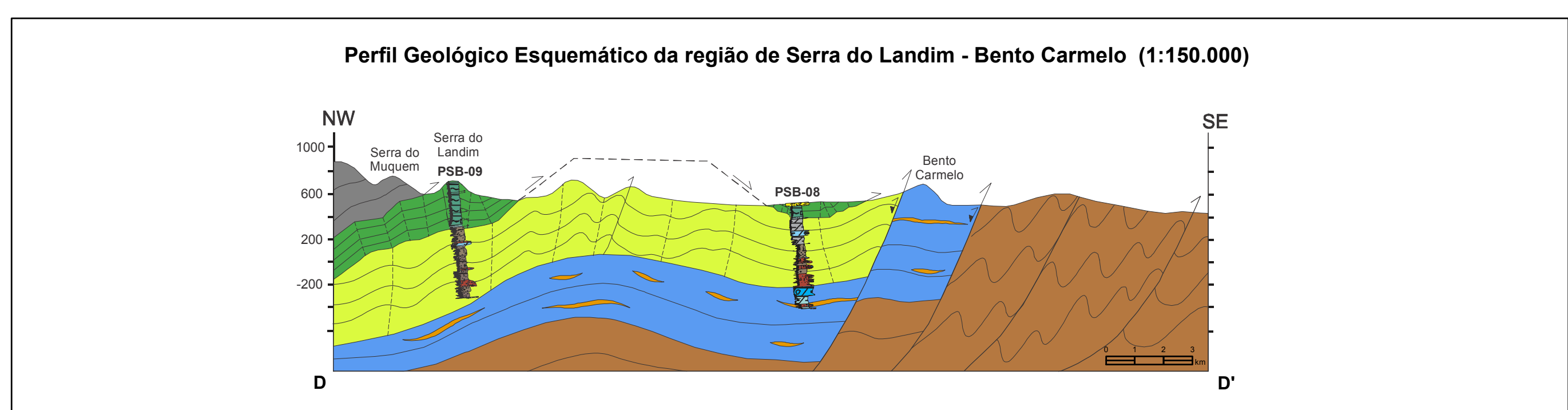
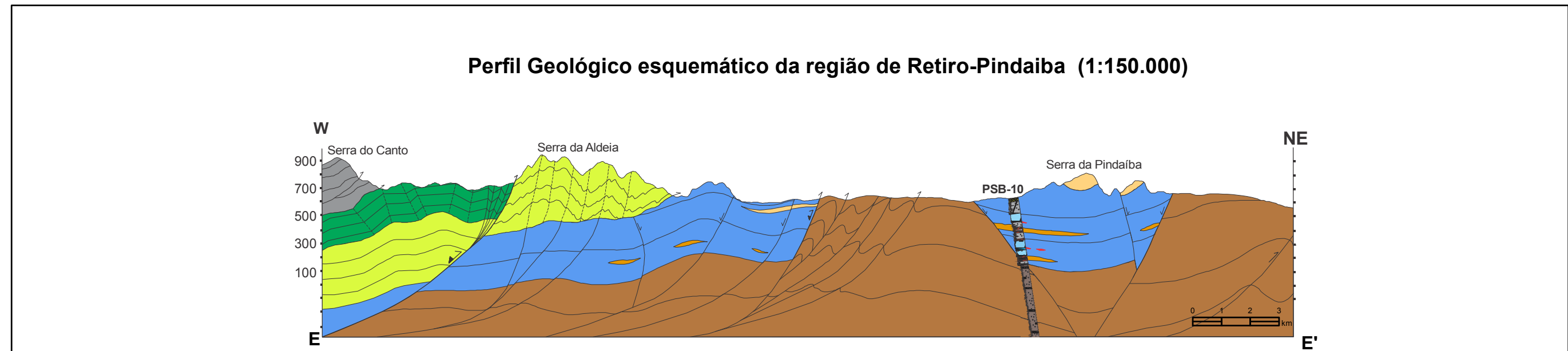
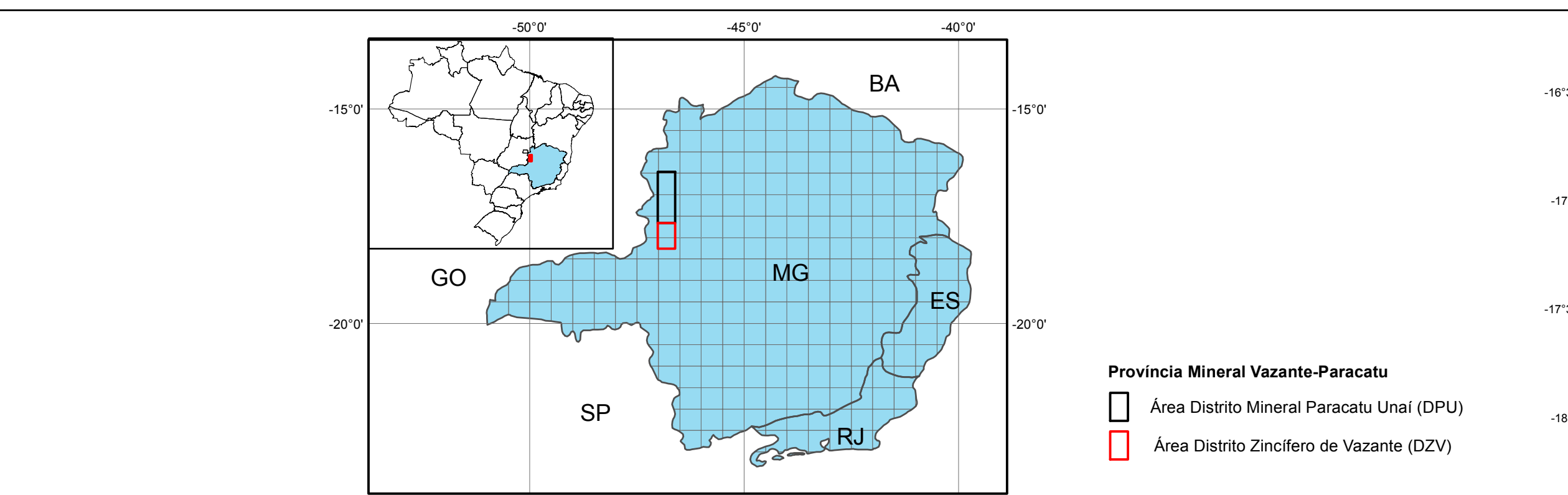
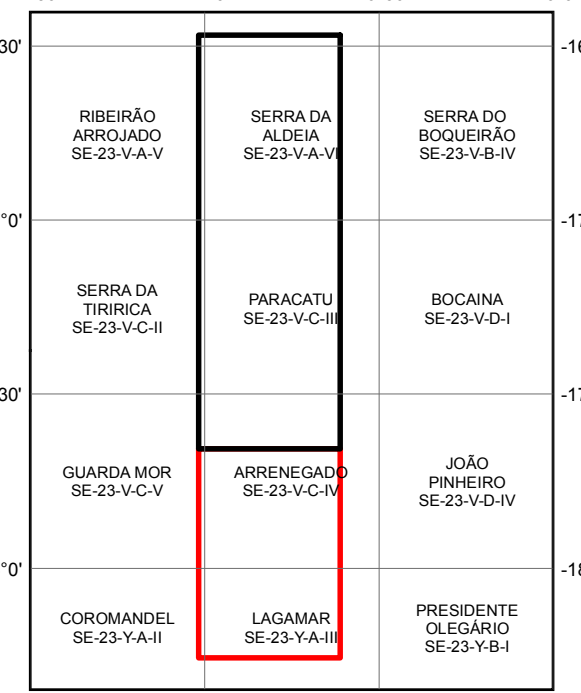
	Zn (ppm)	Pb (ppm)	Cu (ppm)
Anomalia de 1ª Ordem	732,0	159,3 - 248,1	-
Anomalia de 2ª Ordem	188,0 - 815,0	62,0 - 113,8	79,2 - 77,4
Anomalia de 3ª Ordem	58,0 - 181,0	26,0 - 61,8	30,8 - 66,6

Background = Limiar Inferior
Anomalia Negativa

NOTA: As classes de concentração utilizadas nos mapas geoquímicos foram baseadas nos percentis de gráficos box-plot. Tais gráficos possuem distribuição segundo a transformação logarítmica dos dados, apesar de serem mostrados os valores de concentração original (valores brutos). Para estes mapas, foram utilizadas somente as faixas de valores representativas das maiores concentrações (anomalias de 1ª, 2ª e 3ª ordem e as concentrações entre o percentil de 75% e o limiar superior).

NÚMERO	TOPONÍMIA	TIPO	SUBSTÂNCIA	FONTE	NÚMERO	TOPONÍMIA	TIPO	SUBSTÂNCIA	FONTE
1	Faz. João Cândido	Índice	Zinco	Este Projeto	32	Baragem Morro do Ouro 1	Índice	Cobre	Projeto São Francisco 1999
2	Almeida	Índice	Zinco	Este Projeto	33	Baragem Morro do Ouro 2	Índice	Ouro	Projeto São Francisco 1999
3	Fazenda da Adélia	Ocorrência	Zinco	Este Projeto	34	Antônia Maria	Índice	Mina Alva	Este Projeto
4	Serra do Pedreira	Ocorrência	Zinco	Projeto São Francisco 1999	35	Serra do Antônio	Ocorrência	Zinco	Projeto São Francisco 1999
5	Fazenda Santa Fé	Ocorrência	Zinco	Este Projeto	36	Serra da Cruzada	Ocorrência	Zinco	Projeto São Francisco 1999
6	Relvão	Ocorrência	Zinco	Projeto São Francisco 1999	37	Ambrosia Gantele	Ocorrência	Zinco	Este Projeto
7	Fazenda S. Clara	Ocorrência	Zinco	Este Projeto	38	Serra de Ambrosia 1	Ocorrência	Zinco	Este Projeto
8	Cool 1	Ocorrência	Zinco	Este Projeto	39	Adutora Alvorado	Ocorrência	Ouro	Este Projeto
9	Fazenda Casa Nova	Ocorrência	Zinco	Este Projeto	40	Serra de Ambrosia 2	Ocorrência	Zinco	Projeto São Francisco 1999
10	Cool 2	Ocorrência	Zinco	Este Projeto	41	Serra de Ambrosia 3	Ocorrência	Zinco	Projeto São Francisco 1999
11	Fazenda Nova Alegria	Ocorrência	Zinco	Este Projeto	42	Serra de Ambrosia 4	Ocorrência	Zinco	Projeto São Francisco 1999
12	Fazenda Fagundes 1	Ocorrência	Zinco	Este Projeto	43	Córrego do Neto	Ocorrência	Cobre	Projeto São Francisco 1999
13	Fazenda Fagundes 2	Ocorrência	Zinco	Este Projeto	44	São Domingos 1	Ocorrência	Ouro	Este Projeto
14	Fazenda Fagundes 3	Ocorrência	Zinco	Este Projeto	45	São Domingos 2	Ocorrência	Ouro	Este Projeto
15	Fazenda Fagundes 4	Ocorrência	Zinco	Este Projeto	46	Morro do Ouro - Cava	Ocorrência	Mina Alva	Este Projeto
16	Fazenda Fagundes 5	Ocorrência	Zinco	Este Projeto	47	São Domingos 3	Ocorrência	Ouro	Este Projeto
17	Mocimbo	Ocorrência	Zinco	Projeto São Francisco 1999	48	Serra de Ambrosia 2	Ocorrência	Bário	Projeto São Francisco 1999
18	Fazenda Fagundes (Assentamento)	Ocorrência	Zinco	Este Projeto	49	Serra de Ambrosia 3	Ocorrência	Zinco	Projeto São Francisco 1999
19	Fazenda Mocimbo 3	Índice	Zinco	Este Projeto	50	Região Urbana Paracatu	Índice	Ouro	Este Projeto
20	Poço Norte	Ocorrência	Zinco	Este Projeto	51	Córrego Rico	Garimpo Ativo	Ouro	Projeto São Francisco 1999
21	Região de Poços 5.2	Ocorrência	Zinco	Este Projeto	52	São Sebastião 1	Índice	Cobalto	Este Projeto
22	Região de Poços 5.1	Ocorrência	Zinco	Projeto São Francisco 1999	53	Vareza da Mourão	Índice	Chumbo	Este Projeto
23	Região de Poços 5.3	Ocorrência	Zinco	Este Projeto	54	Lavra de Agulha (MG-188)	Ocorrência	Cobalto	Este Projeto
24	Poço Sul	Ocorrência	Zinco	Projeto São Francisco 1999	55	Fazenda Santa Rita	Índice	Cobalto	Este Projeto
25	Fazenda Lavras	Mina Inativa	Ouro	Este Projeto	56	Estrada Paracatu e Vazante (MS-188)	Índice	Ouro	Este Projeto
26	Estrada Paracatu-Unaí (MS-188)	Ocorrência	Zinco	Este Projeto	57	Fazenda Guerra	Índice	Cobre	Este Projeto
27	Faz. do Meio	Ocorrência	Zinco	Projeto São Francisco 1999	58	Fazenda Morredada	Ocorrência	Cobre	Projeto São Francisco 1999
28	Santa Rita - Lagoa Rica	Ocorrência	Zinco	Projeto São Francisco 1999	59	Serra do Veloso	Ocorrência	Zinco	Este Projeto
29	São Santa Rita	Índice	Cobalto	Este Projeto	60	Serra do Landim 2	Ocorrência	Cobre	Este Projeto
30	Fazenda Machucado	Índice	Ouro	Este Projeto	61	Serra do Landim Norte	Índice	Cobalto	Este Projeto
31	Ambrosia Norte	Depósito	Zinco	Este Projeto	62	Serra do Landim 1	Ocorrência	Cobre	Este Projeto

Articulação Folhas 1:100.000



Cobertura Cenozóica
• Cobertura Cenozóica indiferenciada: Representam os sedimentos relacionados a depósitos aluviais; solo e coberturas indiferenciadas, latossolos e sedimentos argilo-siltosos vermelho escuros com concreções ferruginosas.

Grupo Bambuí
• Subgrupo Paroabe: Composto por pelto, siltito, argilito, ritmito (fóscatico), com níveis de arenito e de calcário (633 Ma, idade máxima de sedimentação por zircão detritico - U-Pb ICP-MS).

Grupo Vazante
• Formação Serra da Lapa: Sequência composta principalmente por dolomito argiloso laminado, ardósia carbonática carbonosa e metarritmito arenito-siltoso; Na região de Paracatu o metarritmito é mais frequente e ocorre como camadas mais espessas geralmente com cor cinza escuro, quando fresco, e esverdeado (pálido) a esbranquiçado, quando alterado (1107 ± 7 Ma, idade máxima de sedimentação por zircão detritico - U-Pb ICP-MS). (d) Ocorrem camadas e lentes de dezenas de metros de dolerito e dolerulito associados ao dolomito argiloso; (c) Na porção basal ocorre pontualmente uma ardósia carbonosa relacionada a brecha com fragmentos dolomíticos e matriz argilosa (diamétrico) (1194 Ma, idade máxima de sedimentação por zircão detritico - U-Pb ICP-MS). Observam-se regiões com intensa deformação impondo uma textura mioclítica e exibindo porfolioclásticos rotacionados de pirita e fragmentos de rocha, essa textura é denominada localmente de "pipuquina".

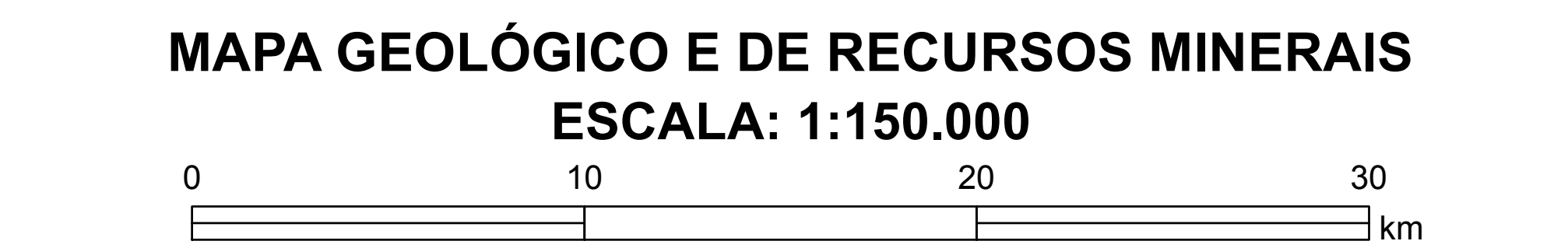
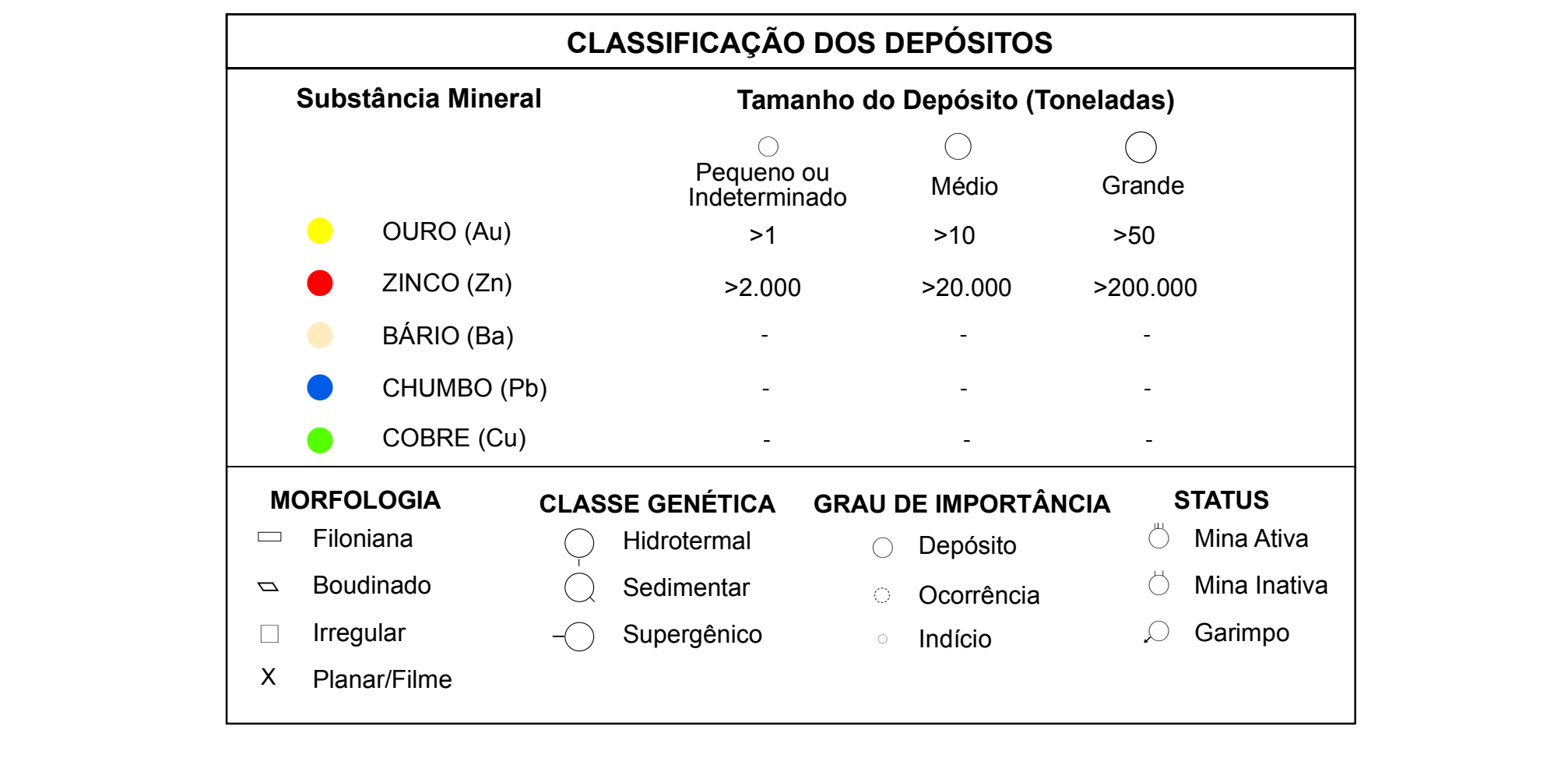
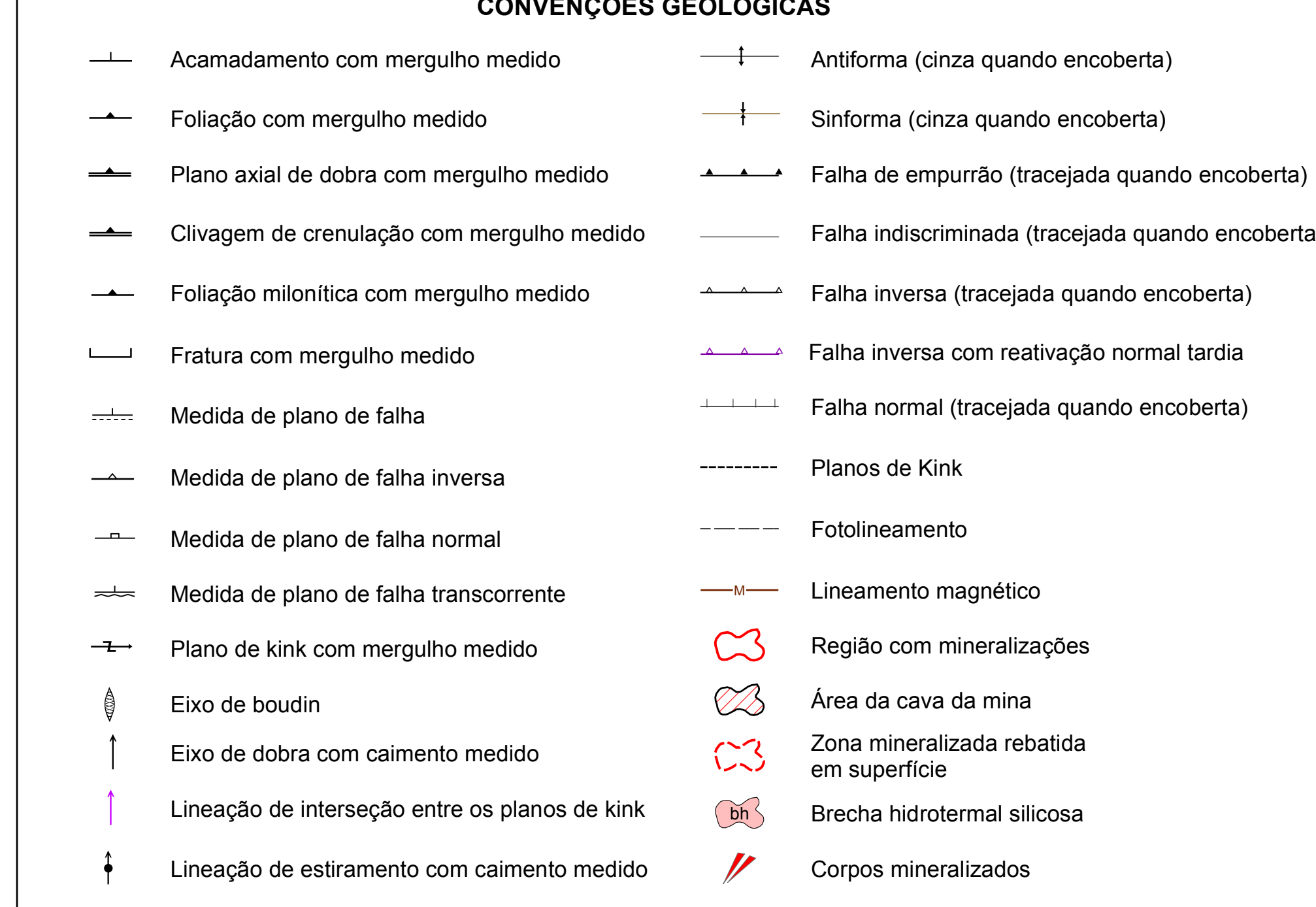
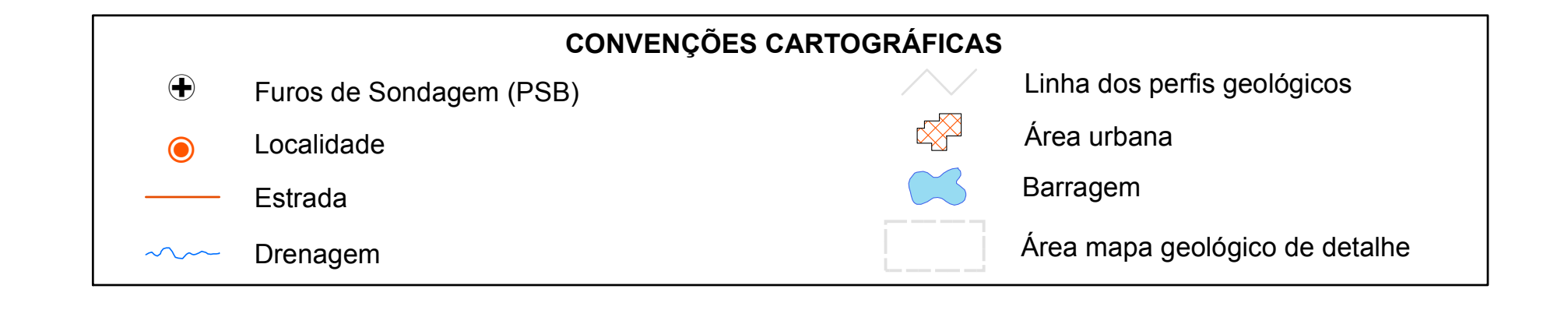
• Formação Morro do Calcário: Sequência dolomítica composta predominantemente por dolerito intracrístico (microconglomerático), dolerulito (brecha intracrística), dolerulito/dolerulito e dolomito laminado com estromatólitos colunares e biolaminadas, (p = Membro Retiro) dolerulito/dolerulito com biolaminadas, (m = Membro Mocimbo) Ocorrem camadas e lentes métricas de ardósia carbonática carbonosa associada a brecha com matriz argilo-carbonosa; (a = Membro Aldeia) Na região a norte de Paracatu, no topo da sequência dolomítica, ocorre uma sequência composta por arenito fino a grosso e pelto esverdeado, contendo clastos arredondados e esféricos de quartzo e feldspato, às vezes, com matriz carbonática. Esse arenito apresenta, em geral, estratificações cruzadas e marcas onduladas.

• Formação Serra do Garrote: Representa uma espessa e monótona sequência composta por metapelto carbonoso (ricos em matéria orgânica) em geral negro, quando fresco, e arroxado a esbranquiçado, quando intemperizado. Apresenta laminações rítmicas silto-argilosa contendo pirita framboidal disseminada. Em direção a norte próximo de Unaí mostra intercalações de camadas centimétricas a decimétricas de siltito e arenito fino esverdeado contendo mica detritica. (1282 Ma, idade máxima de sedimentação por zircão detritico - U-Pb ICP-MS). Essa unidade ocorre como uma faixa contínua desde as proximidades da cidade de Lagamar até a cidade de Unaí.

Grupo Canastra - Formação Paracatu
• Membro Serra da Anta: Composto por filito sericitico ora carbonoso com intercalações de quartzo micáceo. (1075 Ma, idade máxima de sedimentação por zircão detritico - U-Pb ICP-MS).

• Membro Morro do Ouro: Composto predominantemente por filito sericitico carbonoso e raras lentes de quartzo micáceo.

• Membro Serra do Landim: Composta por um pacote monótono de clorita-quartzo-muscovita filito carbonático geralmente esverdeado, podendo conter biotita. Quando alterado esse filito, assume tonalidades rosadas a ocre, perde seu caráter carbonático e apresenta platinos ricos em óxido de manganês (1035 ± 31 Ma, idade máxima de sedimentação por zircão detritico - U-Pb ICP-MS).



PROJEÇÃO UNIVERSAL TRANSVERSA DE MERCATOR
Origem da quilometragem UTM: Equador e Meridiano Central 45W, Gr.
acrescidas às constantes: 10.000m e 500km, respectivamente.
Datum horizontal: SIRGAS2000
Declinação magnética do centro da área em 28/03/2017: 21.85°
W ± 0,36" com variação anual de 0,10" W.
FONTE: NOAA National Geophysical Data Center